

## Угловые зависимости пик-эффекта в монокристаллах $\text{YBa}_2\text{Cu}_3\text{O}_x$

© Т.И. Арбузова, И.Б. Смоляк, С.В. Наумов

Институт физики металлов Уральского отделения Российской академии наук,  
620219 Екатеринбург, Россия

(Поступила в Редакцию 24 июня 1996 г.)

Исследованы угловые зависимости петель гистерезиса намагниченности при  $T = 77$  К на серии монокристаллов YBCO, обладающих пик-эффектом. Показано, что возникновение пик-эффекта связано с пиннингом продольных вихрей вдоль  $c$ -оси на упорядоченных дефектах типа двойниковых границ. Поведение пик-эффекта в области промежуточных углов обусловлено анизотропным проникновением магнитного поля в квазидвумерные сверхпроводники. Для тонких кристаллов с разреженной структурой упорядоченных дефектов это может приводить к росту пик-эффекта за счет образования кинк-структуры вихря и "внутреннего" пиннинга поперечных сегментов на плоскостях Cu–O.

Одним из примеров необычного поведения высокотемпературных сверхпроводников в области критического состояния является так называемый пик-эффект, который заключается в уширении петель гистерезиса намагниченности  $M$  в области промежуточных полей (выше поля проникновения  $H_p$ ) и возникновении второго максимума в зависимостях критического тока от поля и температуры [1,2]. Причина этого явления в ВТСП-соединениях в данное время остается до конца невыясненной. В [2,3] было показано, что поле пик-эффекта  $H_m$  коррелирует с полем, при котором в монокристалле возникает гранулярность, т. е. кристалл разбивается на несвязанные сверхпроводящие домены. Это косвенно указывает на то, что дефекты, связанные с пик-эффектом, должны быть топологически замкнутой системой областей со слабой сверхпроводимостью, переходящих в нормальное состояние в полях второго максимума в зависимости  $M(H)$ . Было также показано, что система слабых связей, скорее всего, возникает в областях с недостатком кислорода [2]. Примером такой системы дефектов могут служить границы двойников, которые, по-видимому, обладают пониженным по сравнению с основной фазой содержанием кислорода и образуют замкнутую систему параллельных плоскостей. Эксперименты по декорированию вихревой решетки [4] показали, что эффективный пиннинг на границах двойников происходит при достаточно высоких температурах ( $60 \text{ K} < T < T_c$ ). В ряде работ были проведены температурные измерения гистерезисных петель намагниченности для YBCO (см., например, [5]), а также было показано, что наиболее ярко пик-эффект проявляется также в области  $T > 60$  К. Данные работ [6,7] для монокристаллов YBCO с разной плотностью двойниковых границ указывают на то, что возникновение пик-эффекта связано с усилением пиннинга границами двойников из-за смягчения вихревой решетки перед ее плавлением (melting-переход).

В силу анизотропной структуры двойниковых границ пиннинг на них должен быть очень чувстви-

тельный в направлении внешнего магнитного поля. Для YBCO-кристаллов пик-эффект отсутствует при направлениях поля, близких к  $ab$ -плоскости [8–10]. Данные о поведении пик-эффекта в области промежуточных углов противоречивы. В [8] наблюдалось монотонное изменение петель гистерезиса при отклонении поля от направления  $H \parallel (ab)$  к  $H \parallel c$ . При этом положение второго максимума намагниченности сдвигалось в область меньших полей и ширина гистерезисной петли в области пик-эффекта достигала максимальной величины при  $H \parallel c$ . Сильная анизотропия сверхпроводящих параметров (длина коherентности  $\xi$ , глубина проникновения  $\lambda$  и др.) в ВТСП-соединениях может приводить к зависимости магнитной энергии от угла между направлением поля и кристаллографическими осями [11,12]. Это вызывает ряд особенностей проникновения магнитного потока в образец. Авторы [8] предполагают, что в области промежуточных углов  $\varphi$  между полем и осью  $c$  ( $\varphi \leqslant 60^\circ$ ) экранирующие токи циркулируют только параллельно плоскостям  $ab$ , и, следовательно, они наводятся за счет перпендикулярной плоскости  $ab$  компоненты внешнего поля  $B \cos \varphi$ . Величина намагниченности при этом определяется компонентой  $M(\varphi = 0) / \cos \varphi$  и монотонно уменьшается с углом. В отличие от авторов [8] мы наблюдали на ряде кристаллов YBCO немонотонное изменение петель гистерезиса от угла  $\varphi$  [10]. Максимальное уширение гистерезисной петли в области пик-эффекта происходило при углах  $5\text{--}20^\circ$  от направления  $H \parallel c$ . В отличие от авторов работы [8], в которой измерения проводились на массивных образцах размером порядка  $2 \times 2 \times 1.5$  мм, мы в [10] исследовали довольно тонкие монокристаллы в виде пластинок толщиной  $10\text{--}100 \mu\text{m}$  вдоль оси  $c$ . Причина расхождения данных, как кажется, может быть связана с особенностями пиннинга в тонких квазислоистых образцах, когда период дефектной подрешетки сравним с толщиной кристалла. В данной работе были исследованы угловые зависимости петель гистерезиса намагниченности для серии монокристаллов YBCO,

обладающих пик-эффектом, с близкими значениями  $T_c$  и различной толщиной  $d$ . При обсуждении полученных результатов было предложено объяснение немонотонного поведения пик-эффекта для тонких монокристаллов.

## 1. Эксперимент

Монокристаллы YBCO были выращены методом из раствора в расплаве в системе CuO–BaO [13]. Были отобраны три образца в виде тонких прямоугольных пластинок с осью  $c$ , перпендикулярной плоскости, примерно одинакового размера, но различной толщины  $d$ . Толщина кристаллов оценивалась по измерениям массы из расчета теоретической плотности для YBCO. При осмотре поверхности  $ab$  кристаллов на поляризационном микроскопе хорошо проявлялась блочная структура двойниковых доменов, расположенных под углом  $45^\circ$  к естественным граням образца. Температура сверхпроводящего перехода  $T_c$  определялась индуктивным методом в поле  $H < 0.1$  Ое по резкому скачку восприимчивости в диамагнитной области. Измерения намагниченности проводились на вибрационном магнитометре при  $T = 77$  К и в полях до 15 кОе. Изменение угла  $\varphi$  между полем  $H$  и осью  $c$  осуществлялось путем поворота держателя образца относительно оси магнита с точностью  $\Delta\varphi \approx 2^\circ$ . Ориентация образца на держателе характеризовалась углом  $\alpha$  между проекцией поля на плоскость  $ab$  и нормалью к границам двойникования (рис. 1). Все три монокристалла имели температуру СП-перехода  $T_c = 93$  К и показывали пик-эффект при  $T = 77$  К для положения  $H \parallel c$ . Значения поля пик-эффекта  $H_m$  для них были довольно высокими ( $H_m \geq 13$  кОе). Из-за больших значений  $H_m$  трудно сделать вывод о поведении пик-эффекта при больших углах. Желательно исследовать кристалл с более низким значением  $H_m$ . Небольшим уменьшением содержания кислорода в образце можно снизить  $T_c$  и сместить

Данные угловых измерений и некоторые параметры для монокристаллов  $\text{YBa}_2\text{Cu}_3\text{O}_x$

Номер образца	$T_c$ , К	$d$ , $\mu\text{m}$	$\alpha$ , deg	$\varphi_{\max}$ , deg	$k$	$r$ , $\mu\text{m}$
1	92	60	45	9.75	1.106	7.25
2	92	45	45	13	1.353	7.35
2	92	45	0	10.4	1.1	8.26
3	92	14	45	21	2.2	3.8

пие-эффект в область меньших полей при той же температуре измерения [14]. Поэтому после проведения угловых измерений петель гистерезиса один из монокристаллов (№ 1 в таблице) был отожжен на воздухе при  $T = 550^\circ\text{C}$  с последующей закалкой в жидкий азот и повторно исследован.

## 2. Результаты

Для трех монокристаллов были сняты зависимости гистерезисных петель намагниченности от угла между внешним полем и осью  $c$  ( $-20 < \varphi < 90^\circ$ ) при  $T = 77$  К. На рис. 2 приведены петли гистерезиса для кристалла № 3 (см., таблицу) при некоторых углах  $\varphi$ . Как видно из этого рисунка, данный кристалл обладает ярко выраженным пик-эффектом намагниченности с полем второго максимума  $H_m \geq 13$  кОе. Важной особенностью измеренного кристалла является то, что максимум пик-эффекта не наблюдается для положения  $H \parallel c$ . Для того чтобы выявить особенности поведения намагниченности в области пик-эффекта при наклонных полях, на рис. 3 приведена зависимость ширины гистерезисной петли  $\Delta M$  от угла  $\varphi$  при значениях поля  $H = 13$  кОе и 0. В обоих полях зависимость  $\Delta M(\varphi)$  является симметричной относительно положения  $H \parallel c$ . Однако в отличие от кривой при  $H = 0$  максимум величины  $\Delta M$  в области пик-эффекта достигается при некотором промежуточном значении угла  $\varphi_{\max}$ . Подобные зависимости были получены для двух других кристаллов. Ориентация измеренных образцов на штоке соответствовала углу  $\alpha = 45^\circ$  (рис. 1, a). Для количественной оценки возрастания намагниченности в области пик-эффекта при повороте образца от  $\varphi = 0$  до  $\varphi_{\max}$  мы использовали величину  $k = \Delta M(\varphi_{\max})/\Delta M(\varphi = 0)$ , взятую при  $H = 13$  кОе. Данные угловых экспериментов и некоторые характеристики трех монокристаллов приведены в таблице. Из таблицы видно, что при одинаковой ориентации образцов  $\alpha = 45^\circ$  наблюдается тенденция к увеличению угла максимального пик-эффекта  $\varphi_{\max}$  и параметра  $k$  с уменьшением толщины кристалла  $d$ . Максимальные величины  $\varphi_{\max} = 21^\circ$  и  $k = 2.2$  получены для самого тонкого кристалла с  $d = 14 \mu\text{m}$ .

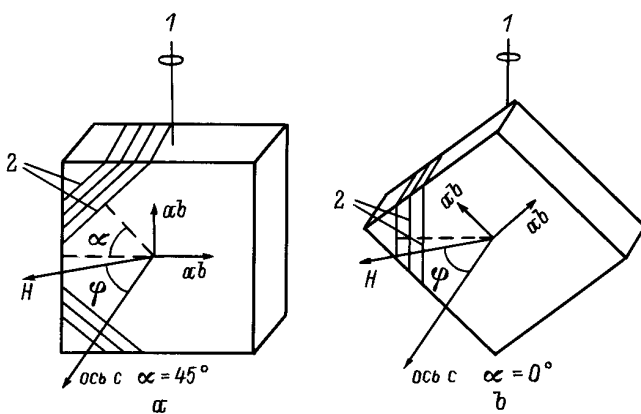


Рис. 1. Ориентация образца для двух разных значений  $\alpha$  ( $^\circ$ ):  $a$  —  $45$ ,  $b$  —  $0$ . 1 — ось поворота, 2 — границы у двойников.

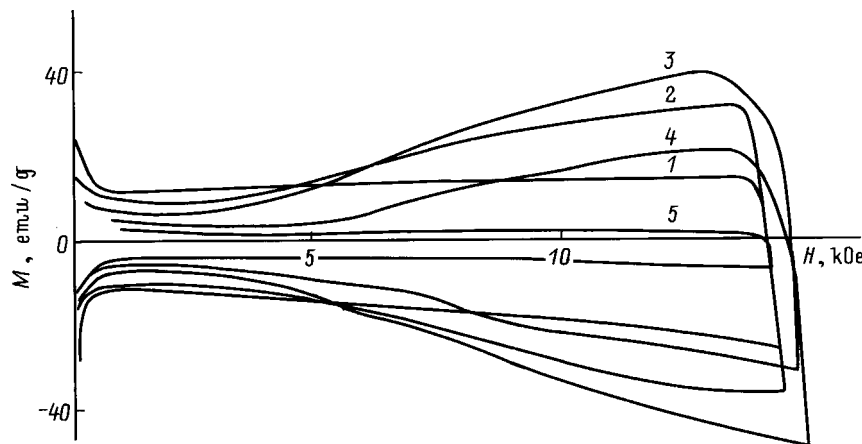


Рис. 2. Гистерезисные петли намагниченности монокристалла № 3 (см. таблицу) при  $T = 77$  К и  $\alpha = 45^\circ$  для разных углов  $\varphi$  между полем и осью  $c$ .  $\varphi$  ( $^\circ$ ): 1 — 0, 2 — 7.5, 3 — 21, 4 — 46, 5 — 60.

В случае пиннинга вихрей не на точечных, а на плоскостных дефектах типа границ двойников направление внешнего поля по отношению к пиннингующим дефектам должно характеризоваться не только углом  $\varphi$  между полем и осью  $c$ , но и углом  $\alpha$  между нормалью к двойниковым границам и проекцией поля на плоскость  $ab$ . Изменение  $\alpha$  может существенно повлиять на вид зависимостей  $M(\varphi)$ . Для кристалла № 2 дополнительно была снята угловая зависимость гистерезисной петли при ориентации  $\alpha = 0^\circ$  (рис. 1, б). На рис. 4 приведены зависимости  $\Delta M(\varphi)$  кристалла № 2 при  $H = 13$  кОе для двух ориентаций:  $\alpha = 45$  и  $0^\circ$ . Как видно из этого рисунка и таблицы, уменьшение  $\alpha$  привело к уменьшению угла  $\varphi_{\max}$  и параметра  $k$ .

С целью смещения пик-эффекта в область меньших полей и выяснения динамики его поведения при больших углах  $\varphi$  монокристалл № 1 (см. таблицу)

был отожжен на воздухе при температуре 550°C. После отжига температура сверхпроводящего перехода составляла 85 К, а после пик-эффекта  $H_m$  равнялась 3 кОе при  $H \parallel c$  и  $T = 77$  К. На рис. 5 приведены петли гистерезиса при разных углах  $\varphi$ , а на рис. 6 зависимость  $\Delta M(\varphi)$  в полях  $H = H_m$  и 0 для отожженного кристалла. С увеличением угла  $\varphi$  максимум намагниченности в районе  $H_m$  сильно размывается, а само значение  $H_m$  сдвигается в сторону больших полей. В отличие от исходного образца с высокой  $T_c$  для него при всех полях наблюдается монотонная зависимость ширины гистерезисной петли от угла с максимумом при положении  $H \parallel c$ , т. е.  $\varphi_{\max} = 0$ . Таким образом, не только толщина измеряемого образца, но и уменьшение  $T_c$  может приводить к монотонной угловой зависимости пик-эффекта. Обе эти возможности обсуждаются далее.

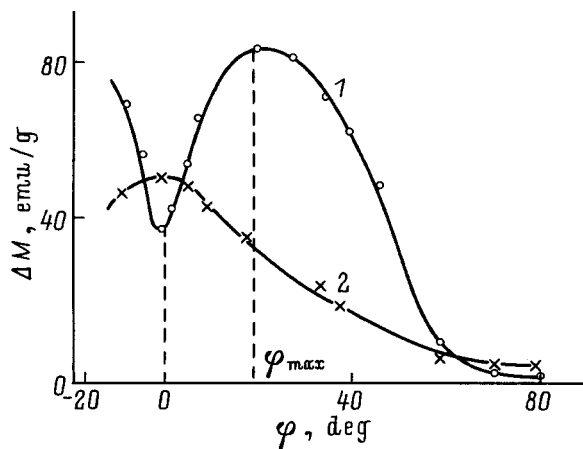


Рис. 3. Угловые зависимости ширины петли гистерезиса  $\Delta M$  образца № 3 при  $\alpha = 45^\circ$  и  $T = 77$  К для  $H = 13$  кОе (1) и 0 (2).

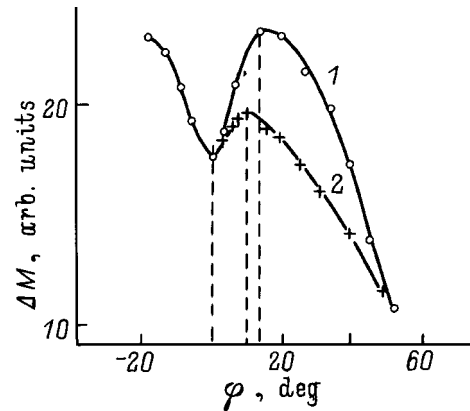


Рис. 4. Угловые зависимости ширины петли гистерезиса  $\Delta M$  монокристалла № 2 (см. таблицу) при  $H = 13$  кОе и  $T = 77$  К для двух ориентаций образца.  $\varphi$  ( $^\circ$ ): 1 — 45, 2 — 0.

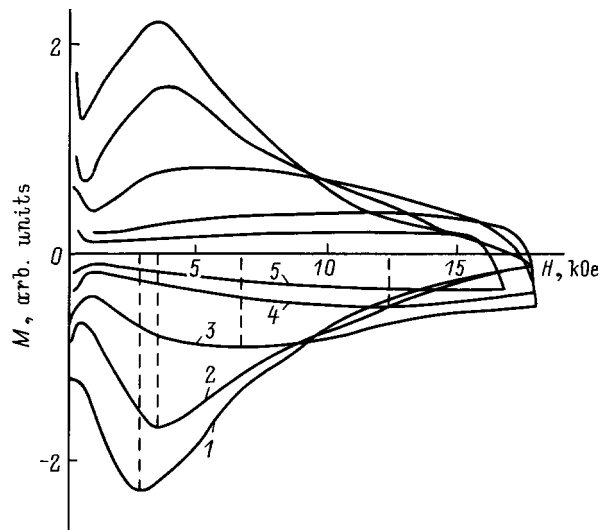


Рис. 5. Гистерезисные петли намагниченности монокристалла № 1 после отжига для разных углов  $\varphi$  между полем и осью  $c$  ( $T = 77$  К).  $\varphi$  (°): 1 — 0, 2 — 30, 3 — 58, 4 — 70, 5 — 77.

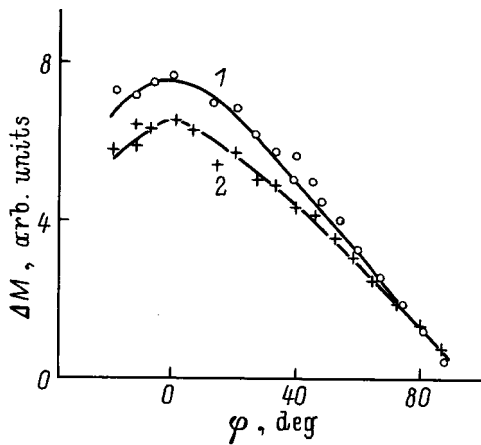


Рис. 6. Угловые зависимости ширины петли гистерезиса  $\Delta M$  монокристалла № 1 после отжига для  $H = H_m$  (1) и 0 (2).

### 3. Обсуждение

Можно предположить, что, хотя в YBCO-криSTALLах существует несколько типов пиннингующих дефектов, только один из них ответствен за пик-эффект. Симметрия угловых зависимостей пик-эффекта относительно положения  $H \parallel c$  указывает на то, что он обусловлен пиннингом на протяженных дефектах, лежащих вдоль оси  $c$ . Как уже отмечалось выше, такими дефектами в YBCO могут быть границы двойников. Анизотропия сверхпроводящих параметров в ВТСП-соединениях может приводить к сильному искажению вихревой решетки. Это проявляется в том, что магнитные вихри проникают в образец лишь вдоль направлений  $c$  и  $ab$  [15,16]. Магнитную

индукцию в этом случае можно рассматривать как сумму двух независимых друг от друга компонент  $B_{\parallel}$  и  $B_{\perp}$ . Поскольку мы полагаем, что пик-эффект обусловлен пиннингом продольных вихрей на двойниковых плоскостях, положение поля второго максимума намагниченности  $H_m$  должно определяться компонентой  $B_{\parallel} = B \cos \varphi$ , а сам максимум  $\Delta M$  при больших углах будет размываться за счет косинуса. На рис. 7 приведена зависимость  $H_m(\varphi)$  для отожженного кристалла с  $T_c = 85$  К. Сплошной линией представлена функция  $f(\varphi) = H_m(\varphi = 0) / \cos \varphi$ . Видно, что поле пик-эффекта неплохо описывается функцией  $H_m(\varphi) = H_m(0) / \cos \varphi$ . Этот результат согласуется с данными работы [8]. Однако в отличие от [8] абсолютное уменьшение ширины гистерезисной петли с углом  $\varphi$  нам не удалось описать только изменением вклада  $M_{\parallel}$ . В качестве иллюстрации на рис. 8 представлена угловая зависимость  $\Delta M / \cos \varphi$  в полях  $H_m$  (кривая 1) и  $H = 0$  (кривая 2). Как видно из этого рисунка, ширина петли не описывается простым законом  $\Delta M(\varphi) = \Delta M(\varphi = 0) \cos \varphi$ . Можно предположить, что в данном случае для описания величины  $M$  требуется учет перпендикулярной компоненты намагниченности  $M_{\perp}$ . В частности, плоская форма образца может способствовать усилению роли экранирующих токов, перпендикулярных плоскости  $ab$  [17].

Приведенное выше обсуждение результатов относилось к образцу с монотонной угловой зависимостью пик-эффекта и  $\varphi_{\max} = 0$ . Данные, полученные нами на трех тонких кристаллах с высокими  $T_c = 93$  К, нельзя объяснить только пиннингом на двойниковых

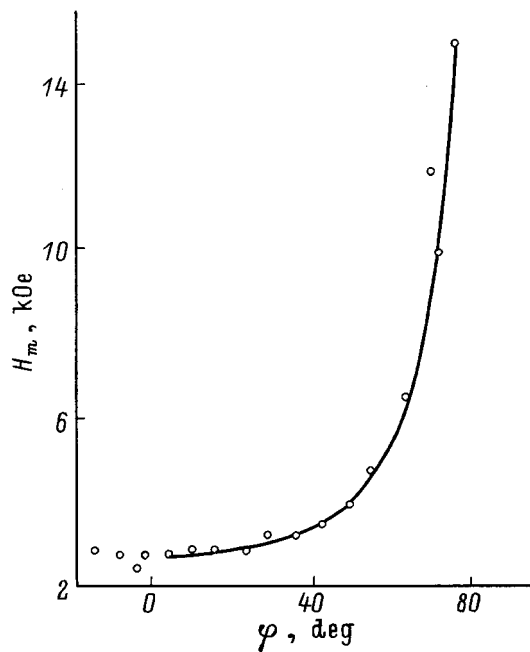


Рис. 7. Угловая зависимость поля пик-эффекта  $H_m$  для монокристалла № 1 после отжига. Сплошная линия соответствует функции  $f(\varphi) = H_m(\varphi = 0) / \cos \varphi$ .

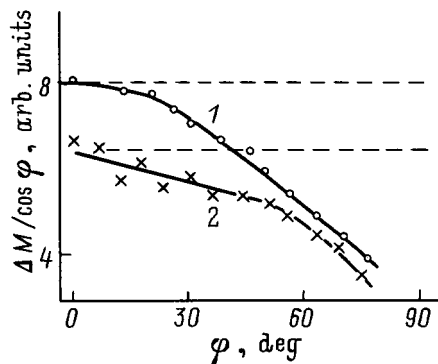


Рис. 8. Угловые зависимости величины  $\Delta M/\cos \varphi$  для монокристалла № 1 после отжига для  $H = H_m$  (1) и 0 (2).

границах вдоль оси  $c$ . В частности, остается неясным увеличение намагниченности в области пик-эффекта при промежуточном значении угла  $\varphi = \varphi_{\max}$ . Мы полагаем, что для объяснения этого явления нужно учесть особенности пиннинга поперечной компоненты приложенного поля в квазислоистых соединениях. Конфигурация поля внутри таких материалов при промежуточных углах может быть представлена в виде изломанной структуры магнитных вихрей (так называемая кинк-структура [12]). В этом случае вихрь будет состоять из продольных сегментов, соединенных поперечными сегментами, лежащими в плоскости  $ab$ . Оптимальные условия образования кинк-структуры в области малых  $\varphi$  будут реализовываться, если продольные компоненты вихря пиннингуются на соседних дефектах. Пример образования изломанного вихря при пиннинге продольных сегментов на границах двойников проиллюстрирован на рис. 9. Покажем теперь, что в случае возникновения пиннинга поперечных сегментов изломанного вихря возможно эффективное усиление намагниченности. В [12,16,18] показано, что в ВТСП-соединениях возможен сильный "внутренний" пиннинг вихрей в направлении  $ab$  на сверхпроводящих плоскостях Cu–O из-за малой величины  $\xi$  вдоль оси  $c$ . Геометрии "внутреннего" пиннинга соответствуют текущие в плоскости  $ab$  критические токи  $J^{ab,ab}$ , которые могут существенно превосходить текущие также в плоскости  $ab$  токи  $J^{ab,c}$ , обусловленные пиннингом вихрей вдоль оси  $c$  [16,19]. Первый индекс для компоненты критического тока определяет его направление, а второй — направление магнитного поля. Согласно модифицированной модели Бина для анизотропных сверхпроводников и условию непрерывности протекания таков, ширину гистерезисной петли намагниченности для прямоугольного образца в поле, перпендикулярном плоскости, можно определять как  $\Delta M = J_c l_2 / 20 (1 - J_c l_2 / 3 J_c l_1)$ , где  $l_1$  и  $l_2$  — длина стороны прямоугольника, а  $J_c l_1$  и  $J_c l_2$  — плотности критического тока в направлениях  $l_1$  и  $l_2$  соответственно [20]. Схема распределения токов в плоскости

приведена на рис. 10, а. В случае квадратного образца YBCO с осью  $c$ , перпендикулярной плоскости, и изотропности токов  $J_{c1} = J_{c2} = J^{ab,c}$  для положения  $H \parallel c$  получим  $\Delta M \sim J^{ab,c} l / 30$  и распределение токов, изображенное на рис. 10, б. Возникновение поперечных запиннингованных сегментов и, следовательно, компоненты тока  $J^{ab,ab}$  при небольших углах  $\varphi$  приведет к перераспределению токов в плоскости  $ab$ . Пример протекания токов в склоненных полях при  $J^{ab,ab} > J^{ab,c}$  приведен на рис. 10, в. В этом случае возможно эффективное увеличение проекции магнитного момента на ось  $c$  и общий рост намагниченности. Действительно, если пренебречь изменением проекции поля  $H$  на ось  $c$  и вкладом  $J^{c,ab}$  при малых углах  $\varphi$ , то ширину гистерезисной петли приблизительно можно записать как  $\Delta M \sim J^{ab,c} l / 20 (1 - J^{ab,c} / 3 J^{ab,ab})$ , что больше  $\Delta M \sim J^{ab,c} l / 30$  для  $H \parallel c$ .

Если изломанную нить аппроксимировать прямым идеальным вихрем, направленным вдоль внешнего поля, то образование кинк-структурь соответствует случаю, когда идеальный вихрь одновременно касается краев двух соседних границ (рис. 9). В этом случае эффективный угол определяется следующим образом.

$$\varphi_{\max} = \arctg [r / (d \cos(\varphi))], \quad (1)$$

где  $r$  — среднее расстояние между границами двойников плоскости  $ab$ ,  $d$  — толщина кристалла вдоль оси  $c$ . Из (1) видно, что при заданном  $r$  величина  $\varphi_{\max}$  уменьшается с увеличением  $d$  и уменьшением  $\alpha$ . Расстояние между двойниковыми границами зависит от условий синтеза и может достигать нескольких микрон (см., например, [21]). В таблице для трех измеренных монокристаллов приведены полученные по формуле (1) оценки расстояний  $r$ , которые являются разумными величинами. Близкие значения  $r$  для образца № 2 при разных  $\alpha$  качественно подтверж-

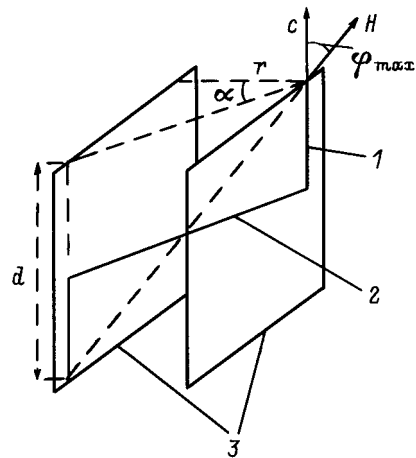
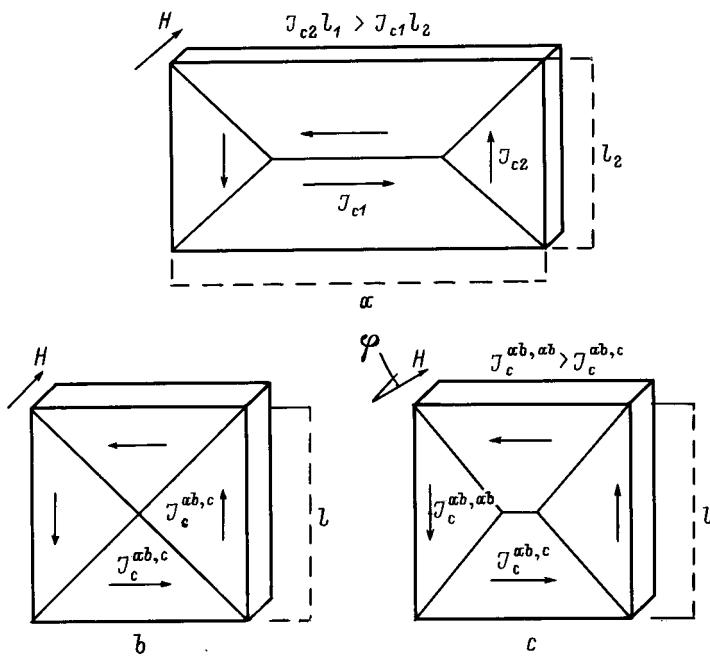


Рис. 9. Пример образования изломанного магнитного вихря, запиннингованного на двух соседних двойниковых границах. 1 — продольный сегмент вихря, 2 — кинк, 3 — границы двойников.



**Рис. 10.** Схема распределения экранирующих токов на плоскости для образцов прямоугольной формы. *a* — общий случай при поле  $H$ , перпендикулярном плоскости, *b, c* — квадратный монокристалл YBCO при поле  $H$ , перпендикулярном ( $\varphi = 0$ ) и не перпендикулярном ( $\varphi \neq 0$ ) плоскости *ab* соответственно.

ждают правильность приведенной схемы пиннинга на границах двойников в области пик-эффекта.

Можно предположить, что эффективность усиления намагниченности за счет "внутреннего" пиннинга зависит от соотношения длин поперечного и продольного сегментов, которое определяется углом между полем и осью *c*. Из таблицы и рис. 3 видно, что параметр  $k$ , характеризующий усиление пик-эффекта в наклонных полях, возрастает с увеличением  $\varphi_{\max}$ . Отсутствие пиков намагниченности, соответствующих удвоенному, утроенному и т. д. периодам  $r$ , может быть связано как с уменьшением вклада  $M_{||}$  при повороте на достаточно большой угол, так и с разбиением кристалла на несвязанные домены при переходе двойниковых границ в нормальное состояние в полях порядка  $H_m$ . В последнем случае образование кинк-вихря будет ограничено внутренней областью сверхпроводящего монодомена.

Таким образом, немонотонное поведение зависимости  $\Delta M(\varphi)$  в области пик-эффекта определяется по крайней мере двумя характеристиками образца:  $d$  и  $r$ . Для достаточно толстых монокристаллов ( $d \geq 100 \mu\text{m}$ ) с плотной системой двойников ( $r \leq 1 \mu\text{m}$ ) величина  $\varphi_{\max}$  может быть очень близкой к значению  $\varphi = 0$ . Расхождение литературных данных, возможно, связано также с разным качеством монокристаллов. Как мы показали, после отжига монокристалла № 1, пришедшего к небольшому уменьшению  $T_c$ , была получена монотонная зависимость  $\Delta M(\varphi)$  при всех полях (рис. 5, 6). Это можно объ-

яснить уменьшением силы "внутреннего" пиннинга при изменении сверхпроводящих параметров. Действительно, из-за малого расстояния между плоскостями Cu-O пиннинг на них должен быть очень чувствительным к размерам вихря. При азотных температурах, близких к температуре СП-перехода, даже незначительное уменьшение  $T_c$  может привести к существенному увеличению параметров  $\xi_c$  и  $\lambda_c$  и, соответственно, размера магнитного вихря, так что пиннинг на слоях Сr-O ослабнет или исчезнет совсем.

## Список литературы

- [1] R.B. van Dover, E.M. Gregory, L.F. Schneemeyer, J.W. Mitchell, K.V. Rao, R. Puzniak, J.W. Waszczak. Nature **342**, 55 (1989).
- [2] M. Daeumling, J.M. Seuntjens, D.C. Larbalestier. Nature **346**, 332 (1990).
- [3] M.S. Osofsky, J.L. Cohn, E.F. Skelton, M.M. Miller, R.J. Soulen, Jr, S.A. Wolf, T.A. Vanderah. Phys. Rev. **B 45**, 9, 4916 (1992).
- [4] Л.Я. Винников, Л.А. Гуревич, Г.А. Емельяненко, Ю.А. Осильян. Письма в ЖЭТФ **47**, 109 (1988).
- [5] L. Krusin-Elbaum, L. Civale, V.M. Vinokur, F. Holtzberg. Phys. Rev. Lett. **69**, 15, 2280 (1992).
- [6] W.K. Kwok, J.A. Fendrich, S. Fleshler, U. Welp, G.W. Crabtree. Critical currents in superconductors. Proc. of the 7th Int. workshop (Alpbach, Austria 1994) / Ed. H.W. Weber (1994). C. 15.
- [7] W.K. Kwok, J.A. Fendrich, C.J. van der Beek, G.W. Crabtree. Phys. Rev. Lett. **73**, 19, 2614 (1994).

- [8] P. Fischer, R. Busch, H.W. Neumuller, G. Ries, H.F. Braun. Critical currents. Proc. of the 6th Int. workshop. Cambridge, England (1991).
- [9] J.G. Ossandon, J.R. Thompson, D.K. Christen, B.C. Sales, H.R. Kerchner, J.O. Thomson, Y.R. Sun, K.W. Lay, J.E. Tkaczyk. Phys. Rev. **B 45**, 21, 12534 (1992).
- [10] Т.И. Арбузова, И.Б. Смоляк, С.В. Наумов, А.А. Самохвалов. СФХТ **5**, 4, 631 (1992).
- [11] V.K. Hogan. Phys. Rev. **B 38**, 7049 (1988).
- [12] В.И. Ivlev, Y.N. Ovchinnikov, V.L. Pokrovsky. Mod. Phys. Lett. **B 5**, 1, 73 (1991).
- [13] Н.М. Чеботаев, А.А. Самохвалов, С.В. Наумов, В.А. Костылев, Б.А. Гижевский, Т.И. Арбузова, И.Б. Бобылев. Всесоюз. совещ. "Физикохимия и технология ВТСП-материалов" (М. 1988). Наука, М. (1989). С. 79.
- [14] Г.И. Арбузова, И.Б. Смоляк, С.В. Наумов, А.А. Самохвалов. СФХТ **6**, 9, 1817 (1993).
- [15] R.G. Mints. Mod. Phys. Lett. **B 3**, 5, 405 (1989).
- [16] M. Tachiki, S. Takahasni. Solid State Commun. **70**, 291 (1989); **72**, 1083 (1989).
- [17] M. Oussena, P.A.J. de Groot, R. Gagnon, L. Taillefer. Phys. Rev. **B**. In press.
- [18] B. Roas, L. Schultz, G. Saemann-Ischenko. Phys. Rev. Lett. **64**, 4, 479 (1990).
- [19] D.C. Cronemeuer, T.R. McGuire, A.P. Malozemoff, F. Holtzberg, R.J. Gambino, J.W. Conner, M.W. McElfresh. In: Proc. Int. Conf. on Transport Properties of Superconductors (ICTPC'90)/ Ed. R.Nicolsky. Rio de Janeiro, Brazil (1990). V. 25. P. 11.
- [20] E.M. Gyurgy, R.B. van Dover, K.A. Jackson, L.F. Shneemeuer, J.V. Waszcak. Appl. Ohys. Lett. **55**, 3, 283 (1989).
- [21] S. Nakahara, G.J. Fisanick, M.F. Yan, R.B. van Dover, T. Boone, R. Moore. J. Cryst. Growth **85**, 639 (1987).